

نشریه مهندسی مکانیک امیرکبیر

نشریه مهندسی مکانیک امیرکبیر، دوره ۴۹، شماره ۱، سال ۱۳۹۶، صفحات ۸۳ تا ۹۲
DOI: 10.22060/mej.2016.851

بررسی تجربی نوسانات، پارامترها و مقادیر مرتبه بالای سرعت در دنباله یک مدل خودرو

وحید بزرگنونی، امیر بک خوشنویس*

دانشکده فنی و مهندسی، دانشگاه حکیم سبزواری، سبزوار، ایران

چکیده: در این پژوهش به بررسی تجربی دینامیک جریان و پارامترهای مرتبه بالای سرعت نظیر صافی و چولگی در دنباله یک مدل خودرو سواری به طور مستقل و حالتی که در دنباله یک مدل تریلر قرار دارد، پرداخته شده است. همچنین روند تغییر طول مقیاس اختلالی، عدد استروهال، اثرات لایه‌های اختلالی و گردابهای در ایجاد ناهمسانی‌ها، در دنباله بررسی شده است. کلیه آزمایش‌ها در آزمایشگاه آبرود دینامیک دانشگاه حکیم سبزواری انجام شده است. به منظور شبیه‌سازی و اندازه‌گیری مخصوصهای جریان سیال، از توانل باد مدار باز و دمتشی استفاده شده است که حداقل اختشاشات اسمی و سرعت برای این دستگاه به ترتیب $0/1\%$ و 30 متر بر ثانیه می‌باشد. نتایج نشان داد مقادیر چولگی در ارتفاعات پایین و نزدیک به زمین کمتر از مقادیر آن در ارتفاعات بالاتر است که این موضوع با افزایش فاصله از انتهای خودرو روند عکس دارد. مقادیر صافی نیز با افزایش فاصله طولی از انتهای خودرو به تدریج کاهش می‌یابد. دنباله تریلر برای موقعیت‌های نزدیک قرارگیری خودرو به تریلر تأثیری در محل شکل‌گیری قله‌های بیشینه طول مقیاس اختلالی ندارد. فرکанс در بیشینه دامنه و همچنین عدد استروهال در موقعیت قرارگیری $X/L=1$ به دلیل اختشاش زیاد جریان کمترین مقدار را دارد.

کلمات کلیدی:

مدل خودرو
دباله جریان
چولگی و صافی
جریان سنج سیم داغ
طول مقیاس اختلالی

۱- مقدمه

اگرچه آشفتگی یکی از مسائل بسیار قدیمی در حوزه مکانیک سیالات می‌باشد، اما همچنان حل نشده باقی مانده است. این پدیده عموماً در اکثر مسائل مربوط به تبدیل انرژی، مباحث مربوط به جریان سیال، سیستم‌های انتقال و ... وجود دارد. روش ممکن جهت توصیف آشفتگی به کمک قوانین عمومی مکانیک پیوسته توسط رینولدز در اوخر قرن گذشته پایه‌گذاری شد. در این روش، میدان سرعت آشفته به دو مولفه تجزیه می‌شود که یکی مربوط به حرکت متوسط و دیگری مربوط به نوسانات وابسته به زمان سرعت سیال است. بنابراین منطقی ترین روش جهت توصیف آشفتگی مربوط به تئوری‌هایی است که بر پایه فرضیات آماری مرتبه با معادلات دینامیک جریان سیال شکل می‌گیرند. نظریه آماری نیازمند داشتن اطلاعاتی در مورد ارزیابی تابع توزیع احتمال چگالی و توابع همبستگی متناظر است. توابع همبستگی مرتبه بالا (مانند چولگی، صافی و ...) باعث بهبود جامعیت مدل آشفته خاص از نظر آماری می‌گردد. پیش‌بینی‌های تئوری برای چولگی و وابستگی آن به عدد رینولدز آشفته $Re_A = u_L l / \nu$ که u نوسان سرعت است، l میکرو مقیاس تیلور و ν لزjet سینماتیکی است، در گذشته به طور وسیعی مورد توجه قرار گرفته است. جریان سنج سیم داغ می‌تواند اندازه‌گیری دقیقی از چولگی، با حلی که تاکنون با دیگر روش‌های تجربی مطابقت داده

نشده است، ارائه دهد. مشتق سرعت تحت تأثیر حرکت مقیاس‌های کوچک^۱ قرار می‌گیرد که تحلیل درست آن را مشکل می‌سازد. از طرفی، وضوح نمونه برداری زمانی سیگنال سرعت نیز بر روی اندازه‌گیری SSM تأثیر می‌گذارد. با استفاده از شبیه‌سازی عددی مستقیم حالت آشفتگی می‌توان به ارزیابی اثرات ناشی از فضای محدود و وضوح موقعیت جریان سنج سیم داغ بکار گرفته شده در آزمایش‌ها پرداخت.

آشفتگی توسط اختلالات فشار و سرعت در میدان توزیع خواهد شد. خواص آماری نسبت به ناهمسانی حساس بوده و برای اندازه‌گیری ناهمسانی می‌توان از کمیت‌های آماری استفاده کرد. ناهمسانی را می‌توان مربوط به اختلالات دانست، بنابراین با افزایش اختلالات، ناهمسانی نیز افزایش یافته و برخی پارامترهای جریان مانند ممان‌های آماری سوم و چهارم نرمال (اسکیوینس و کورتوسیس) نیز افزایش خواهد یافت.

مرور کاملی از روابط آماری موجود بین ممان‌های سرعت مرتبه بالا در جریان درون کانال، لایه مرزی و جت آزاد در مطالعه دارست و همکاران [۱] آمده است. وراوالی و وارهافت [۲] در سال ۱۹۸۹، آزمایش تجربی انجام داده و نشان دادند که خواص آماری نظیر اسکیوینس و کورتوسیس در لایه اختلالات، از توزیع نرمال فاصله می‌گیرند. آن‌ها مشاهده کردند که مکان بیشینه اسکیوینس و کورتوسیس در مرکز لایه اختلالات قرار ندارد. نتایج نشان داد که این نقطه بیشینه نزدیک به ناحیه‌ای با انرژی کمتر قرار دارد. این موضوع بیانگر این واقعیت است که اختلالات همراه با نفوذ گردابهای

چندین مقاله بویژه مطالعه خوشنامی دشیزی و فتحعلی [۱۵] گرفته شده است. در مطالعه آنها، با محاسبه عددی پارامترهای آماری نظری ممان‌های سوم و چهارم و مشتق‌های مکانی آنها، تغییرات این مولفه‌ها روی دینامیک بین دو جریان مغشوش مورد بررسی قرار گرفته است.

۳- تجهیزات آزمایشگاهی

اندازه‌گیری مشخصات جریان در کار حاضر با استفاده از جریان‌سنج سیم داغ و در توپل باد سرعت پایین صورت گرفته است. دستگاه توپل باد مورداستفاده در این تحقیق دارای اتفاق آزمونی به طول ۱۶۸ cm و عرض و ارتفاع ۴۰ cm می‌باشد. طراحی مناسب کانال باعث ایجاد شدت اختشاشات جریان آزاد در حدود ۱٪/۰ در جهت جریان شده است که دستگاه موردنظر از این حیث دارای دقت بالایی است. حداقل سرعت نیز ۳۰ m/s است. جریان ورودی در این آزمایش ۲۵ متر بر ثانیه می‌باشد. جریان‌سنج سیم داغ استفاده شده از نوع جریان ثابت بوده که دارای یک پرتاب تک‌مولفه‌ای می‌باشد. دستگاه توپل باد و جریان‌سنج سیم داغ مورداستفاده در این تحقیق ساخت شرکت فرانجش صبا می‌باشند. شکل ۱ نمایی از توپل باد مورداستفاده در این تحقیق را نشان می‌دهد.

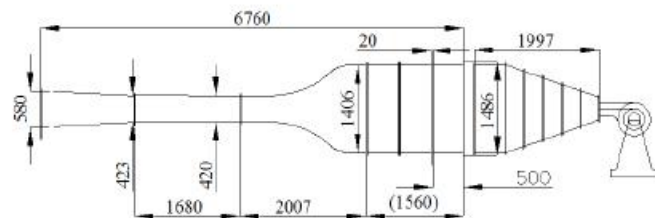


Fig. 1. a view of wind tunnel of the laboratory

شکل ۱: نمایی از توپل باد مورداستفاده

مدل‌های موردازمایش، مدل ساده شده پیزو ۴۰۵ با ابعاد فعلی و یک مدل تریلر کلاس ۸ بدون جزئیاتی از قبل آینه‌ها، آتن، چرخ‌ها و سایر تجهیزات هستند. مدل‌ها به صورت دوبعدی ساخته شده است. توجه به ضریب اندازه بلوکه کردن به عنوان یک پارامتر مهم، اولین نکته در ساخت مدل است. مقدار پیشنهادی برای مدل بین ۰/۰۵ تا ۱/۰ است تا بتوان از اثر جریان سیال روی دیوارهای جانبی مقطع آزمایش بر سطح مدل چشمپوشی کرد. در این تحقیق مقدار انتخابی برای این ضریب با توجه به شرایط آزمایشگاهی و توپل باد، ۰/۰۹ است که برابق آن مقیاس مدل‌ها ۱ به ۷۵ است. در این آزمایش‌ها ابتدا مدل خودرو به طور مستقل در مقابل جریان قرار گرفته و سپس مدل خودرو در فاصله‌های فاصله‌های ۰/۰۱، ۰/۰۲، ۰/۰۳، ۰/۰۴، ۰/۰۵، ۰/۰۷۵، ۰/۰۸۵، ۰/۰۹۵ و ۰/۱۲۵ برابر طول تریلر و در پشت آن قرار گرفته و در هر مورد داده‌برداری‌ها در فاصله‌های ۰/۰۱، ۰/۰۲۵، ۰/۰۵، ۰/۰۷۵، ۰/۰۹۵ و ۰/۱۲۵ برابر خودرو و در پشت آن صورت گرفته است (شکل ۲).

تغییرات فشار استاتیک در محفظه آزمایش با توجه به طراحی دیفیوزر ثابت است.

ناحیه پرانرژی به سمت ناحیه کم انرژی اتفاق می‌افتد. کانگ و مناوو [۳] نتایج تجربی مشابه وراوالی و وارهافت [۲] را با رینولدز بالاتر و همچنین با استفاده از مدل شبیه‌سازی گردابه‌های بزرگ به صورت عددی انجام داده و نشان دادند که تاثیر گردابه‌های بزرگ بر روی اسکیونس و کورتوسیس بیش از گردابه‌های کوچکتر می‌باشد. ماتوویچ [۴] از جریان‌سنج تک‌مولفه لیزی^۱ چهت سنجش ممان‌های مرتبه بالای سرعت در جریان آزاد جت استفاده کرد.

مجموعه نتایج بدست آمده محققان را برآن داشت که آزمایش‌های مشابه در جریان‌های آزاد جت انجام دهنند. برای این کار در مطالعه پتروویچ، از پرتاب جریان‌سنج سیم داغ X برای اندازه‌گیری ممان‌های سرعت تا ممان مرتبه شش استفاده شده و به ارزیابی مقادیر چولگی و اسکیونس پرداخته شده است [۵]. جنس و همکاران [۶] برای لایه مرزی با گرادیان فشار صفر، پارامترهای اختشاشی سرعت را در بازه اعداد رینولدز $Re = 27300$ تغییر عدد رینولدز و اندازه پرتاب مورداستفاده را بر شدت اختشاشات، چولگی و صافی جریان موردنظر بررسی قرار دادند.

در تحقیق حاضر نویسندهای به دنبال فهم بهتر از دنباله مغشوش یک مدل خودرو می‌باشند. تاکنون مطالعات تجربی و عددی بسیاری بر روی مدل‌های مختلف خودرو انجام شده است. از جمله این پژوهش‌ها می‌توان به مقاله احمد و همکاران [۷] اشاره کرد. وی مدل ساده‌ای شبیه به یک خودرو را در نظر گرفته و با آزمایش مدل‌هایی با زاویه‌های مختلف شیشه عقب، نتایج حاصله را ثبت کرده است. برخی از محققین از مطالعات [۸-۹] مدل‌هایی شبیه به مدل اخیر را به صورت عددی، شبیه‌سازی کرده‌اند. از آنجا که نتیجه‌های ثبت شده توسط احمد و همکاران [۷] محدود است، معیار مقایسه این کارهای عددی نیز به طور عموم محدود به تغییرات ضریب پسا بوده است. آزمایش‌های دقیقی بر روی این مدل در پژوهش‌های [۱۰-۱۱] انجام گرفته و نتیجه‌های تجربی مختلفی نظری بردارهای سرعت، تنش‌های رینولدز و اندازه‌گیری و ثبت شده است. خالیقی و همکاران [۱۲] در آزمایش‌ها، نمودارهای شدت اختشاشی و نمودارهای سرعت را برای یک نمونه خودرو به دست آورده‌اند. صدفیان و آذرخویش [۱۳] اثر چند پارامتر را در محاسبه ضریب پسا بررسی کرده‌اند. واتکیتز و وینو [۱۴] نیز به بررسی تغییرات ضریب پسا و لیفت دو مدل احمد به صورت پشت سر هم پرداخته‌اند. از آنجا که تاکنون پارامترهای مختلف دنباله خودرو نظری مقادیر مرتبه بالای سرعت (مانند اسکیونس و کورتوسیس)، فرکانس ریزش گردابه‌ها، عدد استرهال و طول مقیاس اختلاطی به صورت تجربی موردن بررسی قرار نگرفته است و همچنین نیاز به فهم و درک بیشتر دنباله مغشوش خودرو احساس می‌شود، لذا در این تحقیق سعی بر آن است تا با ارائه نمودارهای مختلف روند تغییرات این پارامترها را به طور جزئی موردن بررسی قرار دهیم. ایده انجام این کار از

^۱Laser - Doppler

به یادآوری است این مطلب فقط جهت اعتبار بخثیدن به نتیجه‌های حاضر آورده شده است.

۴- بحث و بررسی نتایج

از آنجایی که ناهمسانی در ممان‌های مرتبه بالا، بهتر مشخص می‌شود. بنابراین برای رصد کردن ناهمسانی میدان از ممان‌های نرمال سوم و چهارم موسوم به اسکیونس (ضریب چولگی) و کورتوسیس (ضریب صافی) استفاده می‌شود. اسکیونس و کورتوسیس پارامترهای آماری هستند که در بررسی کیفی جریان سیال از آنها استفاده می‌شود.

آشفتگی ایزوتروپیک و همگن^۱ با یک چولگی منفی در مشتق سرعت ($\partial u_i / \partial x_j$) مشخص می‌شود که، مولقه نوسانی سرعت در امتداد x است. در آشفتگی ایزوتروپیک و همگن، چولگی، بیانگر میزان تولید گردابی به‌واسطه انبساط گردابه بوده و مقادیر صفر آن از غیر خطی بودن معادله ناویر-استوکس ناشی می‌شود.

مولقه اغتشاش سرعت^۲، که در جهت ناهمگن میدان می‌باشد، وظیفه انتقال انرژی جنبشی در عبور از لایه اختلاط را دارد و همین مولقه در طول فرایند اختلاط، یک ناهمسانی در لایه اختلاط به وجود می‌آورد. مقدار ممان‌های نرمال که با زمان تغییر می‌کنند، میزان ناهمسانی را نشان می‌دهند. توزیع اسکیونس ابزار اصلی در تشخیص میزان تناوب و ناهمسانی است. اسکیونس در حقیقت معیاری از وجود یا عدم تقارن تابع توزیع است. برای یک توزیع کاملاً نامتقارن اسکیونس صفر و برای یک توزیع نامتقارن با کشیدگی به سمت مقادیر بالاتر اسکیونس مثبت و برای توزیع نامتقارن با کشیدگی به سمت مقادیر کوچکتر مقدار اسکیونس منفی است که در اینجا بیان کننده مقدار تقارن سرعت لحظه‌ای نسبت به سرعت متوسط جریان سیال است. زمانی که اسکیونس غیر صفر است، داده‌ها نسبت به مقدار متوسط تقارن نداشته و نمی‌توان آنها را به وسیله یک توزیع نرمال مدل کرد، نوسانات مولقه افقی سرعت و شدت نوسانات کوچک است. اسیلوگرام^۳ در اصل، سرعت لحظه‌ای را نشان می‌دهد که اکثر داده‌ها در آن ناحیه از سرعت متوسط بیشتر هستند. اما پرش‌های منفی وجود دارند که سبب کاهش سرعت متوسط می‌شوند. میزان پرش سرعت لحظه‌ای با محاسبه میزان اسکیونس مشخص می‌شود.

کورتوسیس (صفی) همان ممان مرکزی چهارم^۴ است. به میزان کشیدگی یا پخش منحنی توزیع چگالی احتمال نسبت به منحنی توزیع چگالی گوس^۵ کورتوسیس گفته می‌شود. در واقع میزان پیک ناگهانی نمودار توزیع احتمال نسبت به توزیع نرمال، توسط میزان صافی بیان می‌شود. در این صورت صافی مثبت یا منفی به ترتیب بیانگر منحنی چگال کشیده‌تر یا پخته‌تر نسبت به توزیع چگالی گوس می‌باشند (شکل ۴). در حالتی که میزان صافی

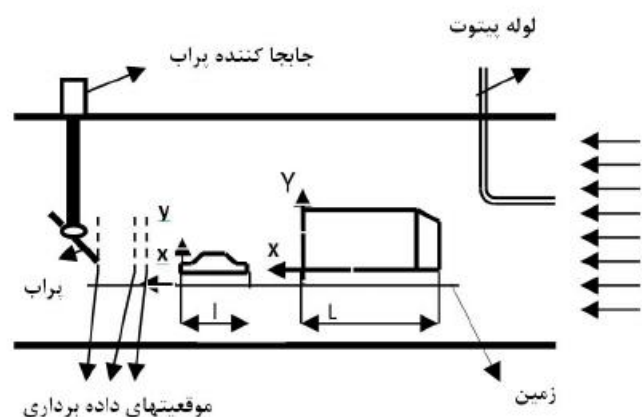


Fig. 2. Schematic view of the models inside of the tunnel and data collection mechanisms

شکل ۲: نمای شماتیک مدل‌ها داخل تونل با داده‌برداری

۳- اعتبارسنجی

در ابتدا، برای بررسی صحت عملکرد دستگاه تونل باد و جریان سنج سیم داغ، یک نمونه داده‌برداری صورت گرفته و با کار دیگر پژوهشگران مقایسه شده است. از آنجایی که روی دنباله مدل‌های انتخابی در این تحقیق در گذشته کار مشابهی صورت نگرفته، بنابراین از یک مدل سیلندر مکعبی استفاده شده است. نمودار متوسط زمانی مؤلفه سرعت در جهت غالب جریان (\bar{U}) برای یک نمونه سیلندر مکعبی با نسبت b/h برابر با ۱ در رینولدز ۸۰۰۰ در دو مقطع مختلف در شکل ۳ نشان داده شده است.

● present work ($Re=8000$) ● shadaram ($Re=8000$)
▲ saha ($Re=8000$)

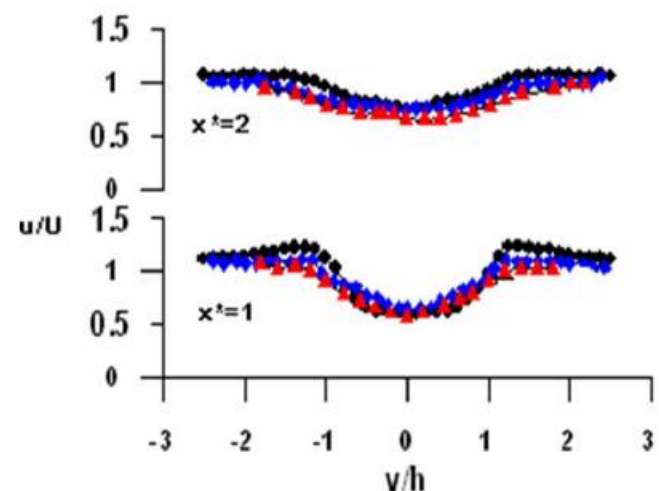


Fig. 3. average velocity for cubic cylinder in 2 different sections (or 2 different times)

شکل ۳: پروفیل سرعت متوسط برای استوانه مربعی در دو مقطع مختلف ($x^* = x/b$) نسبت فاصله طولی از انتهای مدل به پهنای مدل)

همانطور که مشاهده می‌شود، تطبیق‌های بهنسبت خوبی بین نتیجه‌های حاضر با نتیجه‌های ساها و همکاران [۱۶] و همچنین شادارام و همکاران [۱۷] که به صورت تقریبی، عدد رینولدز یکسانی دارند، مشاهده می‌شود. لازم

1 Homogeneous Isotropic Turbulence (HIT)

2 Oscillogram

3 Forth Central Moment

4 Gaussian Density Function

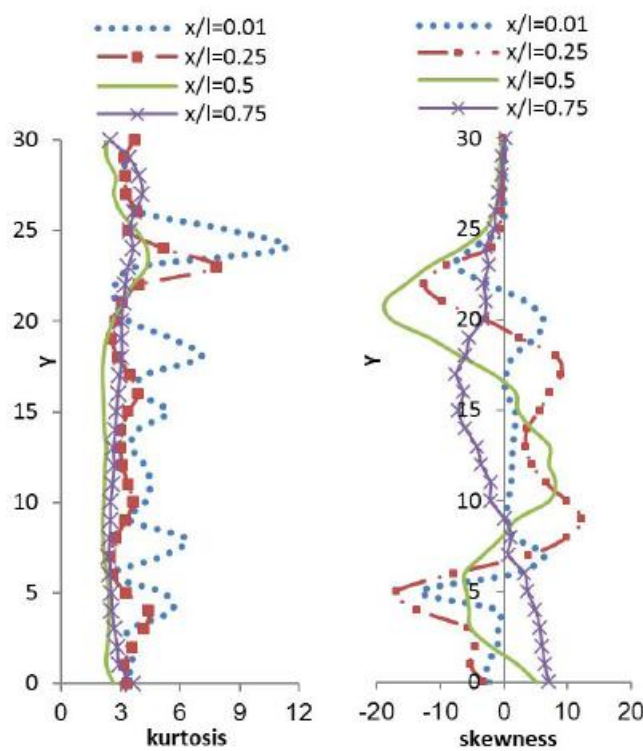


Fig. 5. The trend of changes in skewness (right) and kurtosis(left) in the wake of a single model

شکل ۵: نمودار تغییرات اسکوتوسیس(راست) و کورتوسیس(چپ) در دنباله خودرو و مجزا

سبب افزایش تناب و ناهمسانی و به تبع آن سبب افزایش اختلاط می‌شود. پیک‌های موجود در نمودار کورتوسیس نیز نشانگر افزایش شدید در نوسانات و پرش‌های مثبت و منفی سرعت لحظه‌ای جریان است. از آنجایی که ناحیه بین بیشینه و کمینه مقدار چولگی ناحیه‌ای است که بیشترین نرخ انتقال مونتوم آشفتگی وجود دارد، در واقع همان لایه اختلاطی جریان است. با افزایش بیشتر فاصله از زمین، وارد ناحیه دنباله شده که در این قسمت جریان کاملاً همسان بوده و چولگی نزدیک صفر است و اثرات لایه اختلاطی وجود ندارد. این روند تا نزدیک شدن به سطح فوقانی مدل وجود دارد. با نزدیک شدن به سطح فوقانی مجدد اثرات ناهمسانی جریان به دلیل وجود اثرات لایه اختلاطی ظاهر می‌شود. لذا چولگی نیز افزایش یافته و جهش‌های شدید در سرعت لحظه‌ای زیاد می‌شود که متأثر از گردابهای صادر شده از قسمت فوقانی سقف خودرو می‌باشد. در ادامه با عبور از لایه اختلاطی چولگی یک کمینه مقدار را نشان می‌دهد و پس از آن به تدریج با دور شدن از دنباله و لایه اختلاطی جریان همسان شده و چولگی به صفر نزدیک می‌شود. با افزایش فاصله طولی از مدل به میزان ناهمسانی‌ها در دنباله افزوده شده و مقادیر چولگی مخالف صفر می‌شود. البته از میزان جهش‌های شدید سرعت لحظه‌ای کاسته شده است که این مساله را می‌توان ناشی از کمتر شدن قدرت گردابهای و به دنبال آن تاثیر گردابه در ایجاد جهش‌های ناگهانی در سرعت لحظه‌ای دانست. در موقعیت $z/l = 25$ برابر با 0.25 ، سرعت لحظه‌ای جریان، انحراف بیشتری از مقدار متوسط داشته و جهش‌های ناگهانی مثبت

می‌باشد (لپتوکورتیک)، دنباله‌های توزیع داده‌ها طولانی بوده و تغییرات دامنه داده‌ها نسبت به زمان بیشتر است. بنابراین سرعت لحظه‌ای در بسیاری از مواقع از سرعت متوسط فاصله گرفته و پرش و انتشارات سرعت لحظه‌ای جریان زیاد می‌شود. در حالی که میزان صافی منفی باشد (پلاتی کورتیک) سرعت لحظه‌ای کمتر از سرعت متوسط است ولی دنباله‌های توزیع چگالی جویم‌تر می‌باشند. برای منحنی توزیع چگالی گوس مقدار کورتوسیس 3 است. چنانچه مقادیر کورتوسیس کمتر از 3 باشد منحنی چگال‌تر و در غیر اینصورت منحنی تیزتر می‌باشد. این پارامترها مطابق روابط زیر تعریف می‌گردد:

$$S_u = \frac{1}{N} \sum_{n=1}^N \frac{(u(n) - \bar{U})^3}{\sigma_u^3} \quad (1)$$

$$K_u = \frac{1}{N} \sum_{n=1}^N \frac{(u(n) - \bar{U})^4}{\sigma_u^4} \quad (2)$$

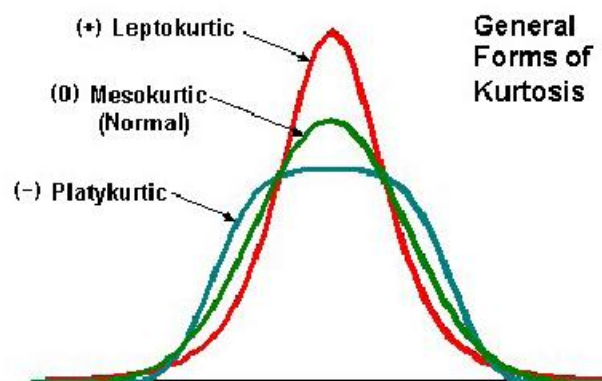


Fig. 4. The two states of flatness and stretchiness relative to the normal state

شکل ۴: دو حالت بخ و کشیده نسبت به حالت نرمال

شکل ۵ نمودار تغییرات اسکوتوسیس و کورتوسیس دنباله مدل خودرو به طور مستقل را نشان می‌دهد. جریان خروجی از زیر مدل به دلیل وجود اثرات لایه مرزی زمین و بر همکنش آن سبب ایجاد ناهمسانی شده و چولگی مقادیر مخالف صفر دارد. در موقعیت $z/l = 0.25$ با فاصله گرفتن از سطح (زمین) به تدریج اثرات لایه اختلاط کمتر شده و مقدار چولگی به صفر نزدیک شده و تابع توزیع چگالی احتمال مقادیر سرعت لحظه‌ای به تابع توزیع گوسی نزدیک می‌شود. کورتوسیس نیز در ابتدا مقدار 3 دارد که به تدریج با افزایش انتشارات جریان رشد می‌کند. با افزایش بیشتر فاصله از زمین، اولین پیک در نمودار چولگی و کورتوسیس مشاهده می‌شود. منفی بودن چولگی در این موقعیت بیانگر کمتر بودن چگالی داده‌ها از مقادیر متوسط سرعت بوده و همچنین دلیلی بر وجود جهش‌های ناگهانی و مثبت سرعت لحظه‌ای می‌باشد رشد مقادیر کورتوسیس نیز مovid این مطلب است. با افزایش بیشتر فاصله از زمین روند بیان شده کاملاً معکوس شده، به عبارتی غالب داده‌های سرعت لحظه‌ای بیشتر از مقدار متوسط شده و جهش‌های منفی سرعت وجود دارد. افزایش چولگی در این ناحیه

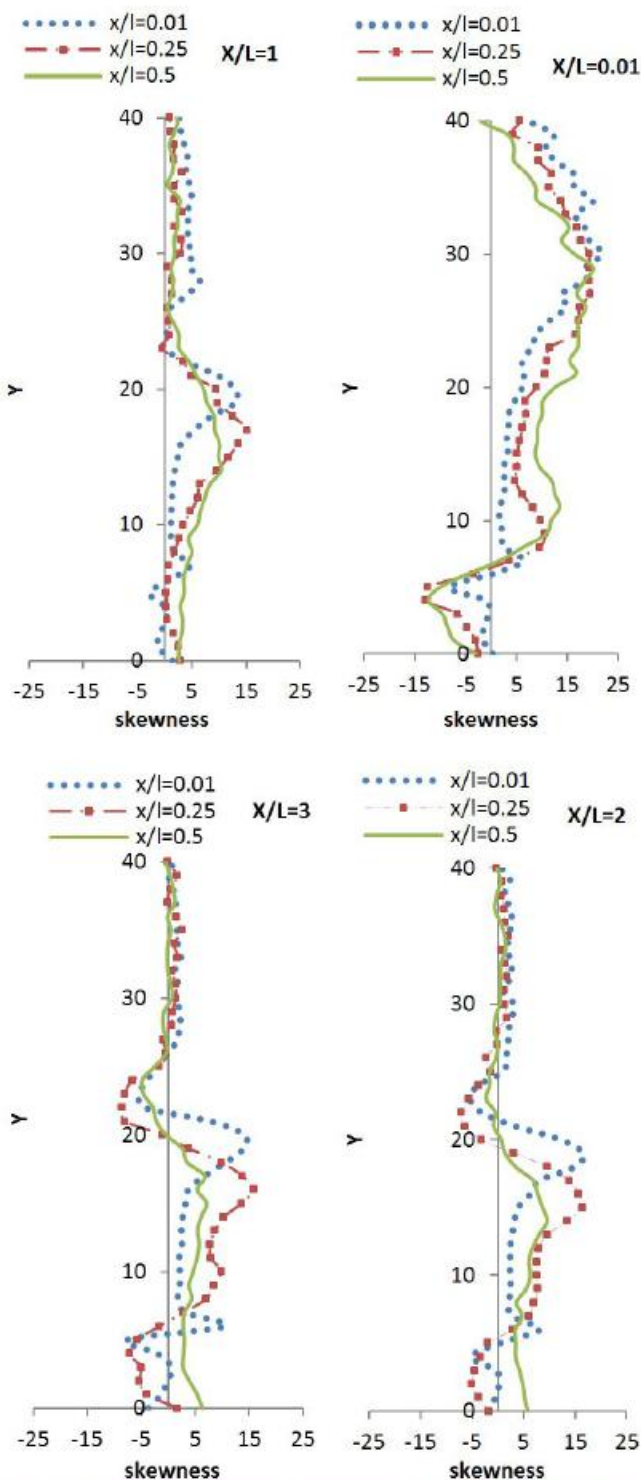


Fig. 6. The trend of skewness changes in different positions of the car in the wake of trailer

شکل ۶: روند تغییرات اسکیوتس برای موقعیت های مختلف قرارگیری خودرو در دنباله تریلر

ناهمسانی در قسمت های تحتانی بسیار کمتر شده، چولگی در موقعیت ابتدایی ناجیز در سایر موقعیت ها مثبت است. مقادیر سرعت لحظه ای غالبا در موقعیت های نزدیک به زمین در محدوده سرعت متوسط بوده و نوسانات و تناوب در این ناحیه ناجیز است. می توان نتیجه گرفت که با افزایش فاصله

و منفی سرعت نیز بیشتر می باشد. با توجه به شکل واضح است که مقادیر اکسترموم چولگی افزایش یافته، همچنین قله های بیشینه یا به عبارتی لايه های اختلاطی به یکدیگر نزدیک می شوند. می توان اینگونه نتیجه گرفت که عرض دنباله در حال کاهش یافتن است. با افزایش بیشتر فاصله طولی و در موقعیت x/l برابر با $1/5$ ، همانطور که قله های بیشینه چولگی نشان می دهند، ناهمسانی ها به مرکز دنباله رسیده و لايه های اختلاطی فوقانی و تحتانی به یکدیگر می رسند و در عرض دنباله کاهش می یابد. لازم به ذکر است نقش گردابه های صادر شده از قسمت های فوقانی و تحتانی در ایجاد ناهمسانی ها و شکل گیری نقاط بیشینه چولگی قابل توجه است. با توجه به این نکته که بیشترین نرخ انتقال مومنتوم آشفتگی در حد فاصل بیشینه و کمینه مقدار چولگی رخ می دهد، در شکل ۵ واضح است که با دور شدن از مدل در راستای طولی این ناحیه گسترش دتر می شود. البته لازم به ذکر است که ضخامت لايه اختلاطی یکی از پارامترهایی است که بیانگر میزان اختلاط است و کاهش ضخامت لايه اختلاطی به معنی شدت اختلاط است. لذا با دور شدن از مدل همانطور که مشاهده می شود ضخامت لايه اختلاطی افزایش یافته و لذا شدت اختلاط کاهش می یابد. با دور شدن از مدل قله های بیشینه و کمینه چولگی از بین رفتہ و ناهمسانی در کل ناحیه دنباله وجود دارد با این تفاوت که در قسمت های تحتانی مقادیر سرعت لحظه ای غالبا بیشتر از مقدار متوسط بوده و جهش های منفی سرعت وجود دارد اما در قسمت های فوقانی سرعت لحظه ای غالبا کمتر از مقدار متوسط بوده و جهش های مثبت سرعت وجود دارد. که این مساله احتمالا ناشی از اندازه گردابه های فوقانی و تحتانی می باشد. با افزایش فاصله از انتهای خودرو جهش های شدید سرعت لحظه ای کمتر شده و کورتوسیس در محدوده $3/10$ باقی می ماند. شکل های ۶ و ۷ به ترتیب نمودار تغییرات اسکیوتس و کورتوسیس دنباله مدل خودرو واقع در دنباله تریلر را نشان می دهد. در موقعیت قرارگیری x/l برابر با $1/10$ ناهمسانی در مقادیر سرعت لحظه ای جریان در قسمت تحتانی و جریان خروجی از زیر خودرو بسیار زیاد است. نمودار چولگی دارای یک قله کمینه است. با افزایش بیشتر ارتفاع از زمین مقادیر چولگی مثبت شده و به بیشینه مقدار خود می رسد.

در این موقعیت با افزایش فاصله از انتهای مدل خودرو مقادیر ناهمسانی و قله های بیشینه چولگی افزایش می یابد و البته این قله ها به قسمت های بالاتر منتقل می شوند. اثرات لايه اختلاطی و ناهمسانی در دنباله با افزایش فاصله از انتهای مدل در موقعیت های نزدیکتر به زمین افزایش منفی و در قسمت های بالاتر دنباله افزایش مثبت می یابد. نکته حائز اهمیت افزایش تدریجی میزان ناهمسانی ها در دنباله با افزایش ارتفاع است. در قسمت بالای مدل خودرو همچنان اثرات لايه اختلاطی و ناهمسانی قابل رویت هستند که ناشی از لايه برشی قسمت فوقانی مدل تریلر می باشند. میزان ناهمسانی جریان در قسمت بالای مدل خودرو نسبت به سایر موقعیت های قرارگیری خودرو در دنباله تریلر بسیار زیاد است.

با افزایش فاصله خودرو از مدل تریلر در موقعیت X/L برابر با ۱، میزان

فوقانی دنباله مدل خودرو شده است. همانطور که از نمودار دیده می‌شود در این موقعیت قله‌های بیشینه چولگی در ارتفاعی معادل ارتفاع سقف مدل خودرو شکل گرفته‌اند. البته با افزایش فاصله از انتهای خودرو این قله‌های بیشینه چولگی کمی به سمت پایین تر متغیر می‌شوند. نکته دیگری که قابل توجه است مقادیر کم چولگی در حد فاصل سقف خودرو تا سقف مدل تریلر برای موقعیت‌های $X/L = 1$ و بیشتر از آن است. ناهمسانی ناشی از دنباله تریلر در قسمت‌های فوقانی ظاهر می‌شود که احتمالاً به دلیل رخداد جدایش روی سقف مدل تریلر و حرکت گردابه‌های ایجاد شده به قسمت‌های فوقانی می‌باشد. با افزایش بیشتر فاصله خودرو از تریلر و در موقعیت‌های X/L برابر با ۲ و ۳، مجدداً در قسمت‌های تحتانی دنباله شاهد ناهمسانی‌های هستیم. جریان عبوری از قسمت تحتانی مدل و لایه اختلاطی ایجاد شده سبب فاصله گرفتن چولگی از مقدار صفر می‌شود. از موقعیت X/L برابر با ۲ به بعد مجدداً لایه‌های اختلاطی دنباله در قسمت‌های تحتانی شکل می‌گیرد. ظاهر شدن مجدد قله‌های بیشینه و کمینه چولگی موید این مطلب می‌باشد. در موقعیت X/L برابر با ۳، اثرات دنباله تریلر در ایجاد ناهمسانی در دنباله مدل خودرو تقریباً ناقص است و پروفیل‌های چولگی مستقل از اثرات دنباله تریلر می‌باشند. نمودار صافی نیز در این موقعیت ابتدا ناقص است اما به تدریج و با افزایش ارتفاع قله‌های منفی و مثبت سرعت لحظه‌ای زیاد می‌شود. در افزایش ارتفاع جهش‌های منفی و مثبت سرعت لحظه‌ای لحظه‌ای کمتر از نقاطی که مقادیر صافی کمتر از ۳ است غالباً سرعت‌های لحظه‌ای کمتر از سرعت متوسط می‌باشد. همانگونه که در نمودار چولگی دیده شد، در اولین موقعیت قرارگیری خودرو در دنباله تریلر، اثرات ناهمسانی در قسمت‌های فوقانی سقف خودرو وجود دارد که ناشی از لایه برپشی جدا شده از سقف تریلر و ورود گردابه‌ها به این ناحیه می‌باشد. در سرتاسر این ناحیه مقادیر صافی مثبت (بیشتر از ۳) است و بیانگر ناهمسانی و افت و خیزهای شدید در سرعت لحظه‌ای در این ناحیه می‌باشد که با فاصله گرفتن خودرو از تریلر این اثرات کم می‌شود. با توجه به بالا بودن پاسخ فرکانسی دستگاه سرعت‌سنج سیم داغ نسبت به سیستم‌های سرعت‌سنج دیگر، مناسب است تا از این امکان استفاده کرده و با پردازش نتایج خام بدست آمده، نمودارهای با مفهومی را از آنالیز طیفی دنباله جریان نشان دهیم. از آنجاییکه دستگاه سرعت‌سنج سیم داغ، اطلاعات هر نقطه را به صورت هزاران داده ذخیره می‌کند، ارائه اطلاعات از تمامی نقاط به صورت نقطه به نقطه امکان پذیر نمی‌باشد. با این وجود آنالیز طیفی مولقه‌های سرعت در چهت x و z در نقاط منتخبی از دنباله جریان، دینامیک دنباله را تا حدودی آشکار می‌سازد.

عدد استروهال، از اعداد بی‌بعد است که فرکانس نوسانات گردابه‌های کارمن تشکیل شده پشت مدل را به صورت بی‌بعد بیان می‌کند. عدد استروهال به صورت زیر تعریف می‌شود:

$$St = f \frac{h}{U} \quad (3)$$

که f فرکانس گردابه پشت مدل، h ارتفاع مدل و U سرعت جریان آزاد سیال می‌باشد. فرکانس گردابه‌های تشکیل شده پشت مدل را می‌توان

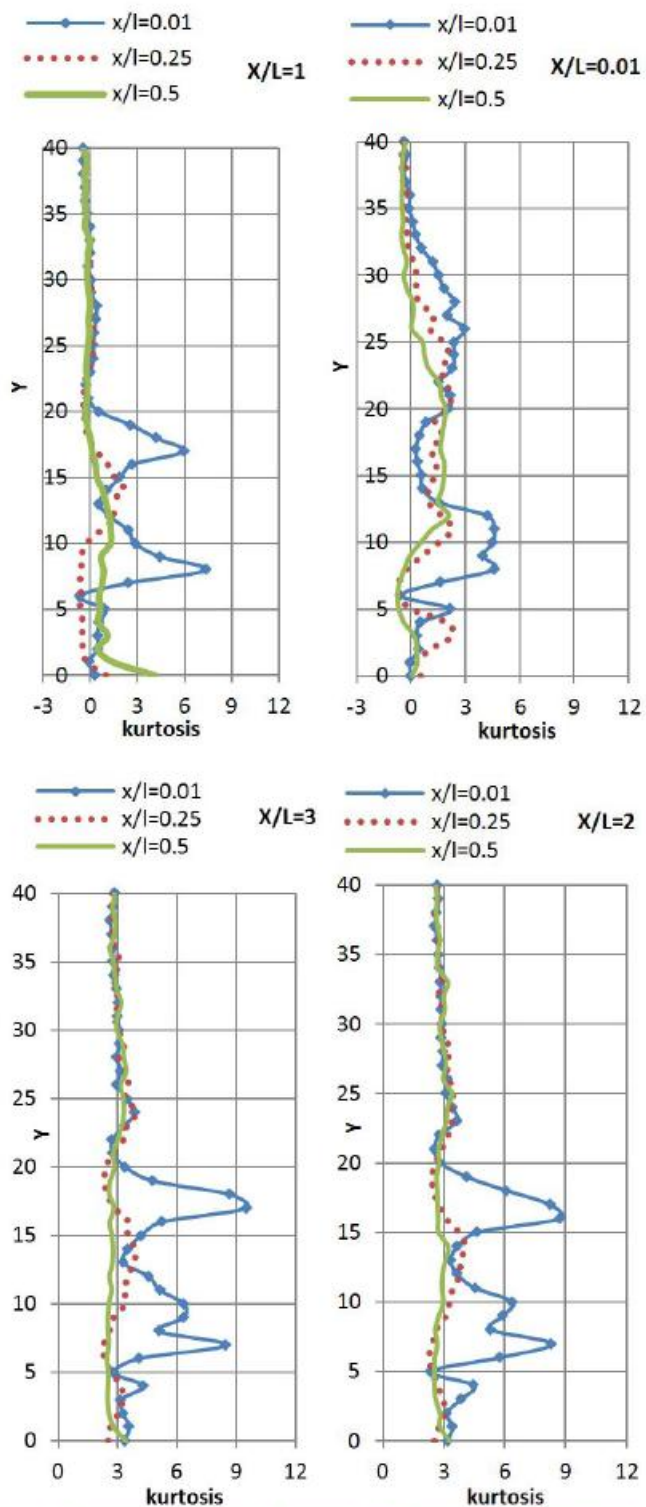
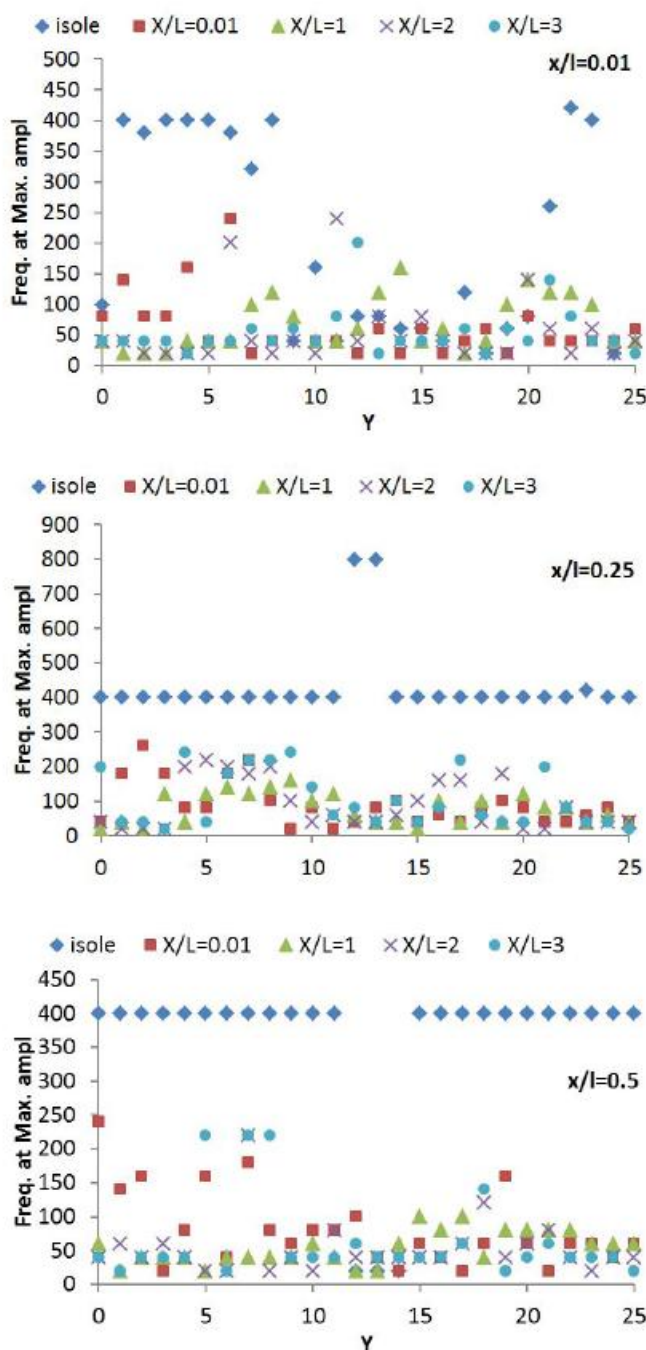


Fig. 7. The trend of kurtosis changes in different positions of the car in the wake of trailer

شکل ۷: روند تغییرات کورتوسیس برای موقعیت‌های مختلف قرارگیری خودرو در دنباله تریلر

خودرو از مدل تریلر و در این موقعیت لایه اختلاطی و جریان خروجی از زیر مدل تریلر به قسمت‌های فوقانی هدایت شده و پس از برخورد با مدل خودرو از قسمت فوقانی مدل عبور کرده و باعث ایجاد ناهمسانی شدید در قسمت



شکل ۹: مقایسه فرکانس جریان در بیشینه دامنه برای موقعیت‌های مختلف قرارگیری خودرو در دنباله تریلر

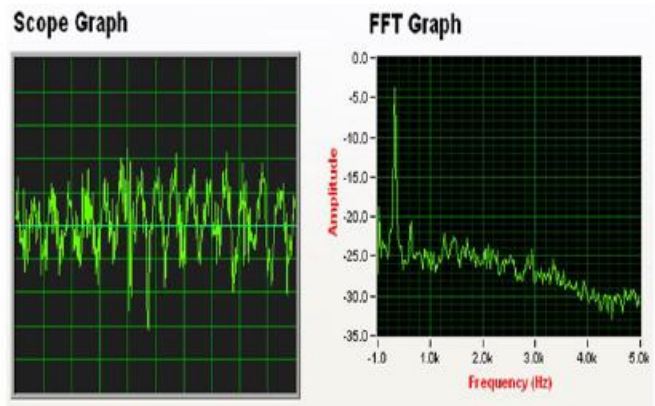
است. که موفقیت این روش محدود به مسائل دو بعدی می‌باشد [۱۸].

پرانتل نشان داد که:

$$l_m^2 \times \left(\frac{\partial u}{\partial y} \right)^2 = -\overline{u'v'} \quad (4)$$

که در این رابطه l_m طول مقیاس اختلاطی و معیاری از اندازه ادی‌ها می‌باشد [۱۸]. از طرفی طبق تحلیل گلداستین [۱۹]، $u'v' = v'u'$ با قرارگیری در رابطه فوق می‌توان طول مقیاس اختلاطی را محاسبه کرد.

بوسیله سنسور جریان سنج سیم داغ در تونل باد بدست آورد. سنسور سیم داغ میزان نوسانات جریان سیال در تونل باد را به صورت نوسان در زمان یا عبارتی در حوزه زمان دریافت می‌کند و با استفاده از تبدیل سری فوریه، آن را به حوزه فرکانس برده، در نمایشگر به صورت دامنه نوسان برحسب فرکانس نوسان نشان می‌دهد. در تونل باد مورد آزمایش، فرکانس داده‌برداری ۵ کیلوهرتز انتخاب شده است (شکل ۸).



شکل ۸: سمت چپ نوسانات جریان در حوزه زمان و سمت راست در حوزه فرکانس

در حوزه فرکانس، می‌توانیم دامنه تمامی نوسانات (با فرکانس‌های مختلف) جریان که توسط سنسور اندازه‌گیری می‌شود را مشاهده کنیم، از بین تمامی نوسانات جریان پشت مدل، مسلم است که نوسانات گردابه‌ای کارمن دارای بیشترین دامنه هستند. بنابراین فرکانس مربوط به بیشترین دامنه، در واقع همان مقدار فرکانس گردابه کارمن است (شکل ۹). با توجه به شکل ۹ می‌توان گفت، در دنباله منتشر شده، در تمام موقعیت‌های قرارگیری خودرو در دنباله تریلر، بیشینه فرکانس در نقاط تحتانی و فوقانی مدل رخ می‌دهد. یعنی در موقعیتی که جریان از قسمت فوقانی و تحتانی جدا شده و گردابه‌ها شکل می‌گیرند. همچنین می‌توان گفت با قرارگیری خودرو در دنباله فرکانس تشکیل گردابه‌ها کاهش یافته است. ایجاد اختشاش در مجموع سبب کاهش فرکانس در بیشینه دامنه و بالطبع آن، کاهش عدد استروهال می‌گردد. با افزایش فاصله خودرو از تریلر مقدار فرکانس ابتدا کاهش و سپس افزایش می‌یابد. مقدار عدد استروهال به ازای تغییر موقعیت قرارگیری خودرو (که با استفاده از رابطه ۳ بدست آمده است) در جدول ۱ نشان داده شده است.

با توجه به شکل ۹ و جدول ۱ واضح است که فرکانس در بیشینه دامنه و همچنین عدد استروهال در موقعیت قرارگیری X/L برابر با ۱، کمترین مقدار را دارد که می‌توان دلیل آن را اختشاش زیاد جریان در این حالت دانست. یک روش پیشنهاد شده برای بدست آوردن اندازه تنش برشی رینولدزی مرتبط نمودن اندازه این تنش آشفته به میدان سرعت متوسط می‌باشد. این روش در توصیف جریانات آشفته آزاد نظیر دنباله و جت موقق عمل نموده

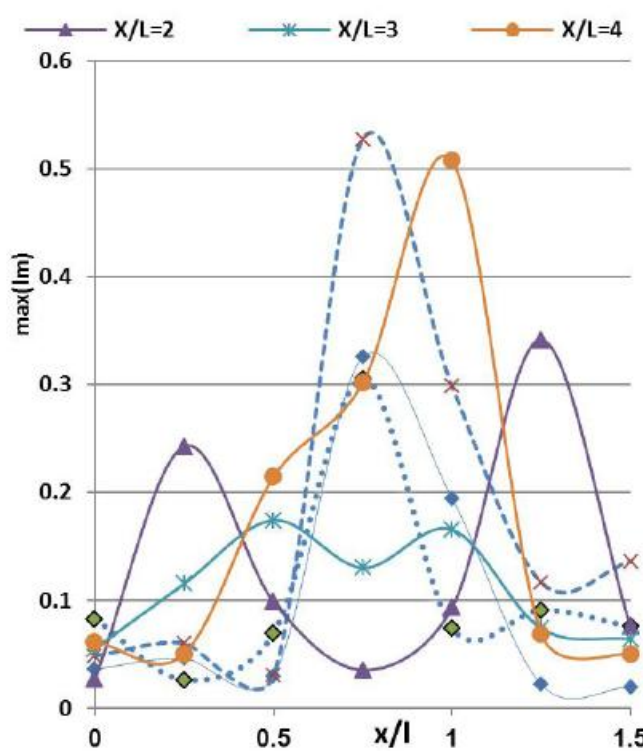


Fig. 10. The process of changes in the mixed scale length for different positions of the car in the wake trailer

شکل ۱۰: روند تغییرات طول مقیاس اختلاطی برای موقعیت‌های مختلف قرارگیری خودرو در دنباله تریلر

۵- تحلیل خطای

تأثیر خطایی که هر پارامتر روی سرعت می‌گذارد از رابطه زیر بدست می‌آید که با عنوان عدم قطعیت استاندارد نسبی بیان می‌شود [۲۰].

$$Error(\%) = \frac{1}{k} \cdot \frac{1}{u} \cdot \Delta y_i \quad (5)$$

که در آن، k ضریب همگرایی و $\frac{1}{u}$ انحراف معیار می‌باشد. در نهایت مجموع خطایی ناشی از پارامترهای مختلف رهوی سرعت لحظه‌ای از رابطه زیر بدست می‌آید [۲۰].

$$Error(\%) = 2 \sqrt{\sum \left(\frac{1}{k} \cdot \frac{1}{u} \cdot \Delta y_i \right)^2} \quad (6)$$

خطایی بوجود آمده در آزمایشات صورت گرفته شامل موارد زیر است: حداقل ۱ درصد خطا ناشی از کالیبراسیون با لوله پیوت و مانومتر، حداقل ۱ درصد خطا ناشی از برآش منحنی ولتاژ بر حسب سرعت، حداقل ۰/۱۲ درصد خطا ناشی از عدم قطعیت مربوط به تبدیل سیگنال آنالوگ به دیجیتال، خطای ناشی از قرار گرفتن موقعیت پرتاب که قابل صرفنظر است، خطای ناشی از تغییرات دما که شامل دو قسمت می‌باشد: (الف) تغییرات دما در حین کالیبراسیون که حداقل یک درجه می‌باشد، مقدار خطای ایجاد شده ۰/۰۰۳ درصد می‌باشد، (ب) تغییرات دما در حین آزمایش که حداقل دو درجه بوده و مقدار خطای ایجاد شده ۰/۰۴ درصد می‌باشد. خطای ناشی از تغییرات رطوبت و فشار محیط که ناجیز است [۲۰]. با در نظر گرفتن تمام عوامل

جدول ۱: مقادیر عدد استروهال برای موقعیت‌های مختلف قرارگیری خودرو در دنباله تریلر

Table 1. The Strouhal number value for different positions of the car in the wake of trailer

X/L	f	St
Isolated	۴۲۰	.۰/۲۸۵
.۰/۰۱	۲۴۰	.۰/۱۶۳
$x/l=+0/01$	۱	۱۶۰
۲	۲۴۰	.۰/۱۶۳
۳	۲۰۰	.۰/۱۳۶
Isolated	۸۰۰	.۰/۵۴۴
.۰/۰۱	۲۶۰	.۰/۱۷۶
$x/l=+0/25$	۱	۱۶۰
۲	۲۲۰	.۰/۱۴۹
۳	۲۴۰	.۰/۱۶۳
Isolated	۴۰۰	.۰/۲۷۲
.۰/۰۱	۲۴۰	.۰/۱۶۳
$x/l=+0/5$	۱	۱۰۰
۲	۲۲۰	.۰/۱۴۹
۳	۲۲۰	.۰/۱۴۹

شکل ۱۰ مقادیر مختلف طول مقیاس اختلاطی را برای فواصل مختلف در پشت خودرو و در موقعیت‌های مختلف قرارگیری خودرو در دنباله تریلر نشان می‌دهد. همانطور که مشاهده می‌شود بزرگترین طول مقیاس اختلاطی در دنباله برای موقعیت‌های قرارگیری ایزوله، $X/L=+0/01$ و $X/L=+0/25$ در $x/l=0/75$ در پشت خودرو شکل می‌گیرد. در دو حالت ایزوله و $X/L=+0/5$ بیشینه طول مقیاس اختلاطی بسیار به هم نزدیکند. با افزایش بیشتر فاصله خودرو از تریلر شاهد شکل گیری دو قله بیشینه طول مقیاس اختلاطی در دو موقعیت $x/l=+0/25$ و $x/l=+0/01$ برای موقعیت قرارگیری $X/L=2$ هستیم. با افزایش بیشتر فاصله خودرو از تریلر اندازه طول مقیاس اختلاطی کوچکتر شده و به هم نزدیکتر می‌شوند. نکته قابل توجه اینکه دقیقاً در موقعیتی که برای سه حالت اولیه قرارگیری خودرو شاهد قله بیشینه طول مقیاس اختلاطی هستیم، برای دو موقعیت بعدی قله‌های کمینه طول مقیاس اختلاطی را داریم. با افزایش بیشتر خودرو از تریلر مجدداً یک قله بیشینه طول مقیاس اختلاطی و در فاصله دورتری نسبت به سه حالت اولیه شکل می‌گیرد. دیده شد که دنباله تریلر برای دو موقعیت $X/L=+0/01$ و $X/L=+0/25$ تأثیری در محل شکل گیری قله‌های بیشینه طول مقیاس اختلاطی ندارد.

طول تریلر	L	فوق میزان خطای کل اندازه‌گیری سرعت لحظه‌ای در حین آزمایش ۴/۰۳ درصد می‌باشد.
فشار کلی	P_t	
فشار استاتیک	P_e	
سرعت جریان آزاد	U	
مؤلفه‌های سرعت	u, v, w	در مطالعه حاضر به ارزیابی پارامترهای آماری موجود بین مقادیر مرتبه بالای سرعت یعنی ضرایب چولگی و صافی در دنباله یک مدل خودرو پرداخته شده است. از جمله نتایج حاصل از این پژوهش عبارتند از:
مؤلفه‌های اختشاشی سرعت	u', v', w'	۱. تغییرات زیاد در ممان‌های مرتبه بالا در نزدیکی مقادیر گوسی، از نظر آماری، باعث پیچیده‌تر شدن آرایش جریان دنباله در مقایسه با جریان
فاصله از انتهای خودرو	x	جه آزاد و جریان‌های محدود می‌گردد.
فاصله از انتهای تریلر	X	۲. قله‌های بیشینه تحتانی و فوقانی اسکوئنس حاکی از وجود اختلاط بیشتر است.
علاوه یونانی		۳. دنباله تریلر برای موقعیت‌های نزدیک قرارگیری خودرو به تریلر تاثیری در محل شکل‌گیری قله‌های بیشینه طول مقیاس اختلاطی ندارد.
چگالی	ρ	۴. با افزایش فاصله طولی از مدل به میزان ناهمسانی‌ها در دنباله افزوده شده و مقادیر چولگی مخالف صفر می‌شود.
زیرنویس‌ها		۵. در موقعیت $x/l = +0.5$ همانطور که قله‌های بیشینه چولگی نشان می‌دهند، ناهمسانی‌ها به مرکز دنباله رسیده و لایه‌های اختلاطی فوقانی و تحتانی به یکدیگر می‌رسند.
مقادیر در دنباله	w	۶. با دور شدن از مدل، ضخامت لایه اختلاطی افزایش یافته و لذا شدت اختلاط کاهش می‌یابد.
مقادیر در جریان آزاد	∞	۷. در موقعیت $x/l = 1$ لایه اختلاطی و جریان خروجی از زیر مدل تریلر به قسمت‌های فوقانی هدایت شده و پس از برخورد با مدل خودرو از قسمت فوقانی مدل عبور کرده و باعث ایجاد ناهمسانی شدید در قسمت فوقانی دنباله مدل خودرو شده است.
بالانویس‌ها		۸. با قرارگیری خودرو در دنباله فرکانس تشکیل گردابه‌ها کاهش یافته است. ایجاد اختشاش در مجموع سبب کاهش فرکانس در بیشینه دامنه و بالتبع آن، کاهش عدد استروهال گردیده است.
حالت بدون بعد	*	۹. فرکانس در بیشینه دامنه و همچنین عدد استروهال در موقعیت قرارگیری $x/l = 1$ کمترین مقدار را دارد که می‌توان دلیل آن را اختشاش زیاد جریان در این حالت دانست.

منابع

- [1] Durst F., J. Jovanović and Lj. Kanevčev, "Probability density distribution in turbulent wall-bounded shear layer flows", *Turbulent Shear Flows*, Springer-Verlag, 5 (1987): 197-220.
- [2] Veeravalli, S. and Z. Warhaft, "The shearless turbulence mixing layer", *Journal of Fluid Mechanics*, 207 (1989): 191-229.
- [3] Kang, H. S. and C. Meneveau, "Experimental study of an active grid-generated shearless mixing layer and comparisons with large-eddy simulation", *Physics of Fluids*, 20 (2008): 115-102.
- [4] Matović, M., "Experimental investigation of free premixed flame flow field, by laser anemometer", Master thesis, University of Belgrade, Faculty of Mechanical Engineering in Belgrade, (in Serbian), 1998.
- [5] Petrović, V. D., "Research of turbulent fluid flow in the free round isothermal jet by hot wire anemometer", Master thesis, University of Belgrade, Faculty of Mechanical Engineering, (in Serbian), 1991.
- [6] Sterlund, Jens M. and Arne V. Johansson, "Turbulence Statistics of Zero Pressure Gradient Turbulent Boundary Layers", 13th European Turbulence conference, Warsaw, September 2011.
- [7] Ahmed, S. R., R. Ramm and G. Faltin, "Some Salient Features of the Time Averaged Ground Vehicle Wake", "SAE Technical Paper Series 840300, Detroit, 1998.

فهرست علاوه

پهنای مدل	b
ارتفاع مدل	h
تابع توزیع چگالی احتمال	$p(x)$
طول مقیاس اختلاطی	l_m
طول خودرو	l

- on the Aerodynamics of Representative Car Shape", *J. of Wind Engineering and Industrial Aerodynamics* 96 1232-12393ED., 96.3 (2011): 1232-1239.
- [15] Khoshnami Deshiri, M. and M. Fathali, "Numerical study of the impact of the initial turbulent integral length scale on the dynamics of a two dimensional shear-free turbulent mixing layer", *Fluid Mech.*, 14 (2014): 113-123.
- [16] Saha, A. K., K. Muralidhar and G. Biswas, "Experimental Study of Flow Past a Square Cylinder at High Reynolds Numbers", *Experiments in Fluids*, 29.4 (2008): 553-563.
- [17] Shadaram A. Azimifrad M. and Rostami N. "Study of characteristic flow at the near wake of square cylinder" *J. of Mechanical-aerospace*, 3.4 (1386) (in Persian)
- [18] Sanieenezhad, M., "an intrudaction to fluctuation flow and turbulence modeling", Tehran, 1383.
- [19] Goldstein, S. "A Note on the Measurement of Total Head and Static Pressure on a Turbulent Stream", *Proceedings of the Royal Society of London, Series A*, 155.32 (1936): 570-575.
- [20] Jorgensen Finn, E., "How to measure turbulence with hot-wire anemometers", Dantec Dynamics, 2002.
- [8] Gilli, P. and F. Chometon, "Modelling of Stationary Three-Dimensional Separated Air Flows around an Ahmed Reference Model", *Third International Workshop on Vortex, ESAIM Proceedings*, 7.10 (1999): 124.
- [9] Hanaoka, Y. And A. Kiyoohira, "Vehicle Aerodynamic Development using PAMFLOW", 2003.
- [10] Gillieron, P. and A. Spohn, "Flow Separations Generated by a Simplified Geometry of an Automotive Vehicle", 2007.
- [11] Lienhart, H. and C. Stoocks, "Flow and Turbulence Structures in the Wake of a Simplified Car Model (Ahmed Model)", DGLR Fach Symp. Der AG STAB, Stuttgart UNIV., 15-17 Nov, 2010.
- [12] Khalighi, B., S. Zang, C. Koromilas, S. Balkanyi, L.P. Bernal, G. Iaccarino and P. Moin, "Experimental and Computational Study of Unsteady Wake Flow Behind a Body with a Drag Reduction Device", *SAE PPR*, 2006-01-1042.
- [13] Javarehkiyan, M.H. , R. Shayesteh Sadafiyani and A. Azarkhish, "Numerical and Experimental investigation of Aerodynamics forces on the base model of vehicle" , *SID*, 18.1 (1385): 49-64.(in Persian)
- [14] Watkins, S., G. Vino, "The Effect of Vehicle Spacing

Please cite this article using:

V. Barzani and A. Bak Khoshnevis, "Experimental Study of Fluctuations, Parameters and High-Order Values of Velocity in Wake Region of a Model Car", *Amirkabir J. Mech. Eng.*, 49(1) (2017) 83-92.
DOI: 10.22060/mej.2016.851

برای ارجاع به این مقاله از عبارت زیر استفاده کنید:

